

บทที่ 4

ผลการวิเคราะห์ข้อมูล

การศึกษาขนาดแรงที่กระทำต่อพื้นหน้าบนในแนวระนาบและแนวตั้งของ ลวดคอนกรีตเสริม อาร์ช ที่ทำจากลวดเหล็กกล้าไร้สนิม ขนาด 0.016 X 0.016 และ 0.016 X 0.022 นิ้ว แบบ Simple closed loop, Closed loop with helix, T loop และ Double delta loop กลุ่มละ 30 เส้น โดยมีระยะการปรับลวดเป็น 0.5, 1.0, 1.5, 2.0, 2.5 และ 3.0 มิลลิเมตร ตามลำดับ ทำการทดลองบนแบบจำลองพื้นบน ที่มีขนาดตามการวิจัยของ วิรัช พัฒนาการ (2526) และตัดลวดตามขนาด Arch form chart ของ Dr. George Boone โดยมีพื้นเขียว, พื้นกรามน้อยซี่ที่สองและพื้นกรามแท้ซี่แรก เป็นหลักยึดแบบ Maximum anchorage นำข้อมูลที่ได้มาวิเคราะห์ทางสถิติ ดังนี้

1. เพื่อศึกษาความสัมพันธ์ของขนาดแรงในแนวระนาบและแนวตั้งที่กระทำต่อ พื้นหน้าบนกับระยะการปรับลวดคอนกรีตเสริม อาร์ช ของทุกกลุ่มตัวอย่าง ดังนี้

1.1 ใช้ค่ามัธยฐานเลขคณิต (Mean, \bar{X}) เพื่อวัดแนวโน้มเข้าสู่ส่วนกลางและ ค่าเบี่ยงเบนมาตรฐาน (Standard Deviation, S.D.), ค่าความคลาดเคลื่อนมาตรฐาน (Standard Error, S.E.) และสัมประสิทธิ์ความแปรปรวน (Coefficient of Variation, C.V.) เพื่อวัดการกระจายของข้อมูล (ตารางที่ 10-17) (n=30)

1.1.1 ลวดคอนกรีตเสริม อาร์ช ขนาด 0.016 x 0.016 นิ้ว

ก. แบบ Simple closed loop พบว่า ขนาดแรงใน แนวระนาบมีขนาดเพิ่มขึ้นเมื่อระยะการปรับลวดเพิ่มขึ้น โดยขนาดแรงในแนวระนาบสูงสุด 683.48 กรัม เมื่อมีระยะการปรับลวด 3.0 มม. รองลงมา ได้แก่ 514.45 กรัม ที่ระยะ การปรับลวด 2.5 มม. และมีขนาดแรงน้อยที่สุด 54.76 กรัม เมื่อมีระยะการปรับลวดเริ่มต้น 0.5 มม. แต่ค่าสัมประสิทธิ์ความแปรปรวนพบว่า ที่ 0.5 มม. มีค่ามากที่สุด 7.58 รองลงมา ได้แก่ 7.00 ที่ 1.5 มม. และที่ 3.0 มม. มีค่าน้อยที่สุดคือ 4.52 ส่วนขนาดแรงในแนวตั้ง

มีขนาดเพิ่มขึ้นเมื่อระลอกการปรับลดเพิ่มขึ้นเช่นกัน โดยขนาดแรงในแนวตั้งสูงสุด 49.47 กรัม เมื่อมีระลอกการปรับลด 3.0 มม. รองลงมา ได้แก่ 41.60 กรัม ที่ระลอกการปรับลด 2.5 มม. และมีขนาดแรงน้อยที่สุด 5.83 กรัม เมื่อมีระลอกการปรับลดเริ่มต้น 0.5 มม. แต่ค่าสัมประสิทธิ์ความแปรปรวนพบว่า ที่ 0.5 มม. มีค่ามากที่สุด 28.47 รองลงมา ได้แก่ 18.96 ที่ 1.00 มม. และ ที่ 2.5 มม. มีค่าน้อยที่สุดคือ 6.66 (ตารางที่ 10)

ข. แบบ Closed loop with helix พบว่า ขนาดแรงในแนวระนาบมีขนาดเพิ่มขึ้นเมื่อระลอกการปรับลดเพิ่มขึ้น โดยขนาดแรงในแนวระนาบสูงสุด 357.26 กรัม เมื่อมีระลอกการปรับลด 3.0 มม. รองลงมา ได้แก่ 298.25 กรัม ที่ระลอกการปรับลด 2.5 มม. และมีขนาดแรงน้อยที่สุด 37.51 กรัม เมื่อมีระลอกการปรับลดเริ่มต้น 0.5 มม. แต่ค่าสัมประสิทธิ์ความแปรปรวนกลับพบว่า ที่ 0.5 มม. มีค่ามากที่สุด 15.01 รองลงมา ได้แก่ 8.39 ที่ 2.0 มม. และ ที่ 3.0 มม. มีค่าน้อยที่สุด คือ 3.13 ส่วนขนาดแรงในแนวตั้งมีขนาดเพิ่มขึ้นเมื่อระลอกการปรับลดเพิ่มขึ้นเช่นกัน โดยขนาดแรงในแนวตั้งสูงสุด 113.83 กรัม เมื่อมีระลอกการปรับลด 3.0 มม. รองลงมา ได้แก่ 79.80 กรัม ที่ระลอกการปรับลด 2.5 มม. และมีขนาดแรงน้อยที่สุด 14.57 กรัม เมื่อมีระลอกการปรับลดเริ่มต้น 0.5 มม. แต่ค่าสัมประสิทธิ์ความแปรปรวนพบว่า ที่ 0.5 มม. มีค่ามากที่สุด 10.64 รองลงมา ได้แก่ 8.61 ที่ 3.0 มม. และ ที่ 2.0 มม. มีค่าน้อยที่สุดคือ 3.48 (ตารางที่ 11)

ค. แบบ T loop พบว่า ขนาดแรงในแนวระนาบมีขนาดเพิ่มขึ้นเมื่อระลอกการปรับลดเพิ่มขึ้น โดยขนาดแรงในแนวระนาบสูงสุด 191.11 กรัม เมื่อมีระลอกการปรับลด 3.0 มม. รองลงมา ได้แก่ 138.11 กรัม ที่ระลอกการปรับลด 2.5 มม. และมีขนาดแรงน้อยที่สุด 2.48 กรัม เมื่อมีระลอกการปรับลดเริ่มต้น 0.5 มม. แต่ค่าสัมประสิทธิ์ความแปรปรวนกลับพบว่า ที่ 0.5 มม. มีค่ามากที่สุด 16.13 รองลงมา ได้แก่ 14.25 ที่ 1.0 มม. และที่ 3.0 มม. มีค่าน้อยที่สุดคือ 5.07 ส่วนขนาดแรงในแนวตั้งมีขนาดเพิ่มขึ้นเมื่อระลอกการปรับลดเพิ่มขึ้นเช่นกัน โดยขนาดแรงในแนวตั้งสูงสุด 76.07 กรัม เมื่อมีระลอกการปรับลด 3.0 มม. รองลงมา ได้แก่ 56.83 กรัม ที่ระลอกการปรับลด 2.5 มม. และมีขนาดแรงน้อยที่สุด 9.17 กรัม เมื่อมีระลอกการปรับลดเริ่มต้น 0.5 มม. แต่ค่าสัมประสิทธิ์

ความแปรปรวน กลับพบว่า ที่ 0.5 มม. มีค่ามากที่สุด 27.37 รองลงมา ได้แก่ 17.73 ที่ 1.0 มม. และ ที่ 3.0 มม. มีค่าน้อยที่สุดคือ 6.61 (ตารางที่ 12)

ง. แบบ Double delta loop พบว่า ขนาดแรงในแนวระนาบมีขนาดเพิ่มขึ้นเมื่อระยะการปรับลดเพิ่มขึ้น โดยขนาดแรงในแนวระนาบสูงสุด 298.37 กรัม เมื่อมีระยะการปรับลด 3.0 มม. รองลงมา ได้แก่ 212.79 กรัม ที่ระยะการปรับลด 2.5 มม. และมีขนาดแรงน้อยที่สุด 2.47 กรัม เมื่อมีระยะการปรับลดเริ่มต้น 0.5 มม. แต่ค่าสัมประสิทธิ์ของความแปรปรวนกลับพบว่า ที่ 1.0 มม. มีค่ามากที่สุด 18.95 รองลงมา ได้แก่ 15.79 ที่ 0.5 มม. และ ที่ 3.0 มม. มีค่าน้อยที่สุด คือ 5.45 ส่วนขนาดแรงในแนวตั้งมีขนาดเพิ่มขึ้นเมื่อระยะการปรับลดเพิ่มขึ้นเช่นกัน โดยขนาดแรงในแนวตั้งสูงสุด 86.47 กรัม เมื่อมีระยะการปรับลด 3.0 มม. รองลงมา ได้แก่ 64.70 กรัม ที่ระยะการปรับลด 2.5 มม. และมีขนาดแรงน้อยที่สุด 3.57 กรัม เมื่อมีระยะการปรับลดเริ่มต้น 0.5 มม. แต่ค่าสัมประสิทธิ์ความแปรปรวนพบว่า ที่ 0.5 มม. มีค่ามากที่สุด 27.17 รองลงมา ได้แก่ 11.10 ที่ 2.0 มม. และ ที่ 2.5 มม. มีค่าน้อยที่สุดคือ 4.23 (ตารางที่ 13)

ศูนย์วิทยทรัพยากร
จุฬาลงกรณ์มหาวิทยาลัย

ระยะปรับลาด(มม.)	Mean(กรัม)	S.D.(กรัม)	S.E.	C.V.(%)
ขนาดแรงในแนวระนาบ				
0.5	54.76	4.15	0.76	7.58
1.0	142.96	8.75	1.60	6.12
1.5	259.14	18.13	3.31	7.00
2.0	370.36	17.58	3.21	4.75
2.5	514.45	32.24	5.89	6.27
3.0	683.48	30.89	5.64	4.52
ขนาดแรงในแนวตั้ง				
0.5	5.83	1.66	0.30	28.47
1.0	14.93	2.83	0.52	18.96
1.5	24.30	4.21	0.77	17.33
2.0	33.47	5.36	0.98	16.01
2.5	41.60	2.77	0.51	6.66
3.0	49.47	4.19	0.77	8.47

ตารางที่ 10 แสดงค่าเฉลี่ย (Mean) ค่าเบี่ยงเบนมาตรฐาน (S.D.) ค่าความคลาดเคลื่อนมาตรฐาน(S.E.)และสัมประสิทธิ์ความแปรปรวน(C.V.) ของขนาดแรงในแนวระนาบ และแนวตั้ง ของลวดคอนแทกชั้น อาร์ช ขนาด 0.016 x 0.016 นิ้ว แบบ Simple closed loop เมื่อปรับระยะลาด 0.5,1.0,1.5,2.0,2.5 และ3.0 มิลลิเมตรตามลำดับ มีหน่วยเป็นกรัม

ระยะปรับลวด(มม.)	Mean(กรัม)	S.D.(กรัม)	S.E.	C.V.(%)
ขนาดแรงในแนวระนาบ				
0.5	37.51	5.63	1.03	15.01
1.0	78.47	5.35	0.98	6.82
1.5	138.00	7.68	1.40	5.57
2.0	207.33	17.39	3.18	8.39
2.5	298.25	13.51	2.47	4.53
3.0	357.26	11.20	2.05	3.13
ขนาดแรงในแนวตั้ง				
0.5	14.57	1.55	0.29	10.64
1.0	28.47	1.48	0.27	5.20
1.5	38.47	1.63	0.30	4.24
2.0	56.07	1.95	0.36	3.48
2.5	79.80	5.41	0.99	6.78
3.0	113.83	9.80	1.79	8.61

ตารางที่ 11 แสดงค่าเฉลี่ย (Mean) ค่าเบี่ยงเบนมาตรฐาน (S.D.) ค่าความคลาดเคลื่อนมาตรฐาน(S.E.)และสัมประสิทธิ์ความแปรปรวน(C.V.) ของขนาดแรงในแนวระนาบและแนวตั้ง ของลวดคอนแทกชั้น อาร์ท ขนาด 0.016 x 0.016 นิ้ว แบบ Closed loop with helix เมื่อปรับระยะลวด 0.5,1.0,1.5,2.0, 2.5 และ 3.0 มิลลิเมตรตามลำดับ มีหน่วยเป็นกรัม

ระยะปลิวลาด(มม.)	Mean(กรัม)	S.D.(กรัม)	S.E.	C.V.(%)
ขนาดแรงในแนวระนาบ				
0.5	2.48	.40	0.07	16.13
1.0	21.05	3.00	0.55	14.25
1.5	47.44	6.75	1.23	14.23
2.0	91.76	6.57	1.20	7.16
2.5	138.11	10.36	1.89	7.50
3.0	191.11	9.68	1.77	5.07
ขนาดแรงในแนวตั้ง				
0.5	9.17	2.51	0.46	27.37
1.0	18.33	3.25	0.59	17.73
1.5	26.27	4.54	0.83	17.28
2.0	39.33	5.22	0.95	13.27
2.5	56.83	5.93	1.08	10.43
3.0	76.07	5.03	0.92	6.61

ตารางที่ 12 แสดงค่าเฉลี่ย (Mean) ค่าเบี่ยงเบนมาตรฐาน (S.D.) ค่าความคลาดเคลื่อนมาตรฐาน(S.E.)และสัมประสิทธิ์ความแปรปรวน(C.V.) ของขนาดแรงในแนวระนาบ และแนวตั้ง ของลวดคอนแทกชั้น อาร์ช ขนาด 0.016 x 0.016 นิ้ว แบบ T loop เมื่อปรับระยะลาด 0.5,1.0,1.5,2.0,2.5 และ3.0 มิลลิเมตร ตามลำดับ มีหน่วยเป็นกรัม

ระยะปรับลวด(มม.)	Mean(กรัม)	S.D.(กรัม)	S.E.	C.V.(%)
ขนาดแรงในแนวระนาบ				
0.5	2.47	.39	0.07	15.79
1.0	23.27	4.41	0.81	18.95
1.5	86.06	6.58	1.20	7.65
2.0	153.44	8.37	1.53	5.45
2.5	212.79	13.13	2.40	6.17
3.0	298.37	18.23	3.33	6.11
ขนาดแรงในแนวตั้ง				
0.5	3.57	.97	0.18	27.17
1.0	16.53	1.70	0.31	10.28
1.5	32.47	2.62	0.48	8.07
2.0	48.40	5.37	0.98	11.10
2.5	64.70	2.74	0.50	4.23
3.0	86.47	3.80	0.69	4.39

ตารางที่ 13 แสดงค่าเฉลี่ย (Mean) ค่าเบี่ยงเบนมาตรฐาน (S.D.) ค่าความคลาดเคลื่อนมาตรฐาน(S.E.)และสัมประสิทธิ์ความแปรปรวน(C.V.) ของขนาดแรงในแนวระนาบ และแนวตั้ง ของลวดคอนแทกชั้น อาร์ท ขนาด 0.016 x 0.016 นิ้ว แบบ Double delta loop เมื่อปรับระยะลวด 0.5,1.0,1.5,2.0,2.5 และ3.0 มิลลิเมตรตามลำดับ มีหน่วยเป็นกรัม

1.1.2 ลวดคอนแทรกชัน อาร์ซี ขนาด 0.016 x 0.022 นิ้ว

ก. แบบ Simple closed loop พบว่า ขนาดแรงในแนวระนาบมีขนาดเพิ่มขึ้นเมื่อระยะการปรับลวดเพิ่มขึ้น โดยขนาดแรงในแนวระนาบสูงสุด 961.33 กรัม เมื่อมีระยะการปรับลวด 3.0 มม. รองลงมา ได้แก่ 752.24 กรัม ที่ระยะการปรับลวด 2.5 มม. และมีขนาดแรงน้อยที่สุด 76.80 กรัม เมื่อมีระยะการปรับลวดเริ่มต้น 0.5 มม. แต่ค่าสัมประสิทธิ์ความแปรปรวนพบว่า ที่ 0.5 มม. มีค่ามากที่สุด 9.77 รองลงมา ได้แก่ 5.47 ที่ 3.0 มม. และ ที่ 2.0 มม. มีค่าน้อยที่สุดคือ 3.18 ส่วนขนาดแรงในแนวตั้งมีขนาดเพิ่มขึ้นเมื่อระยะการปรับลวดเพิ่มขึ้นเช่นกัน โดยขนาดแรงในแนวตั้งสูงสุด 79.47 กรัม เมื่อมีระยะการปรับลวด 3.0 มม. รองลงมา ได้แก่ 63.37 กรัม ที่ระยะการปรับลวด 2.5 มม. และมีขนาดแรงน้อยที่สุด 13.87 กรัม เมื่อมีระยะการปรับลวดเริ่มต้น 0.5 มม. แต่ค่าสัมประสิทธิ์ความแปรปรวน พบว่า ที่ 3.0 มม. มีค่ามากที่สุด 9.51 รองลงมา ได้แก่ 9.40 ที่ 1.0 มม. และ ที่ 2.5 มม. มีค่าน้อยที่สุดคือ 5.95 (ตารางที่ 14)

ข. แบบ Closed loop with helix พบว่า ขนาดแรงในแนวระนาบมีขนาดเพิ่มขึ้นเมื่อระยะการปรับลวดเพิ่มขึ้น โดยขนาดแรงในแนวระนาบสูงสุด 729.83 กรัม เมื่อมีระยะการปรับลวด 3.0 มม. รองลงมา ได้แก่ 557.78 กรัม ที่ระยะการปรับลวด 2.5 มม. และมีขนาดแรงน้อยที่สุด 54.35 กรัม เมื่อมีระยะการปรับลวดเริ่มต้น 0.5 มม. แต่ค่าสัมประสิทธิ์ความแปรปรวนกลับพบว่า ที่ 0.5 มม. มีค่ามากที่สุด 7.23 รองลงมา ได้แก่ 6.63 ที่ 2.0 มม. และ ที่ 3.0 มม. มีค่าน้อยที่สุด คือ 3.61 ส่วนขนาดแรงในแนวตั้งมีขนาดเพิ่มขึ้นเมื่อระยะการปรับลวดเพิ่มขึ้นเช่นกัน โดยขนาดแรงในแนวตั้งสูงสุด 117.57 กรัม เมื่อมีระยะการปรับลวด 3.0 มม. รองลงมา ได้แก่ 86.17 กรัม ที่ระยะการปรับลวด 2.5 มม. และมีขนาดแรงน้อยที่สุด 16.10 กรัม เมื่อมีระยะการปรับลวดเริ่มต้น 0.5 มม. แต่ค่าสัมประสิทธิ์ความแปรปรวนพบว่าที่ 0.5 มม. มีค่ามากที่สุด 12.36 รองลงมา ได้แก่ 10.41 ที่ 1.5 มม. และ ที่ 2.0 มม. มีค่าน้อยที่สุด คือ 6.92 (ตารางที่ 15)



ค. แบบ T loop พบว่า ขนาดแรงในแนวระนาบมีขนาดเพิ่มขึ้นเมื่อระยะการปรับลดเพิ่มขึ้น โดยขนาดแรงในแนวระนาบสูงสุด 366.30 กรัม เมื่อมีระยะการปรับลด 3.0 มม. รองลงมาได้แก่ 276.29 กรัม ที่ระยะการปรับลด 2.5 มม. และมีขนาดแรงน้อยที่สุด 9.47 กรัม เมื่อมีระยะการปรับลดเริ่มต้น 0.5 มม. แต่ค่าสัมประสิทธิ์ความแปรปรวนพบว่า ที่ 1.0 มม. มีค่ามากที่สุด 9.96 รองลงมาได้แก่ 9.23 ที่ 1.5 มม. และ ที่ 3.0 มม. มีค่าน้อยที่สุด คือ 3.87 ส่วนขนาดแรงในแนวดิ่งมีขนาดเพิ่มขึ้นเมื่อระยะการปรับลดเพิ่มขึ้นเช่นกัน โดยขนาดแรงในแนวดิ่งสูงสุด 113.33 กรัม เมื่อมีระยะการปรับลด 3.0 มม. รองลงมาได้แก่ 86.53 กรัม ที่ระยะการปรับลด 2.5 มม. และมีขนาดแรงน้อยที่สุด 6.90 กรัม เมื่อมีระยะการปรับลดเริ่มต้น 0.5 มม. แต่ค่าสัมประสิทธิ์ความแปรปรวนพบว่า ที่ 0.5 มม. มีค่ามากที่สุด 15.80 รองลงมาได้แก่ 10.93 ที่ 1.0 มม. และ ที่ 2.5 มม. มีค่าน้อยที่สุด คือ 4.44 (ตารางที่ 16)

ง. แบบ Double delta loop พบว่า ขนาดแรงในแนวระนาบมีขนาดเพิ่มขึ้นเมื่อระยะการปรับลดเพิ่มขึ้น โดยขนาดแรงในแนวระนาบสูงสุด 560.81 กรัม เมื่อมีระยะการปรับลด 3.0 มม. รองลงมาได้แก่ 433.24 กรัม ที่ระยะการปรับลด 2.5 มม. และมีขนาดแรงน้อยที่สุด 42.72 กรัม เมื่อมีระยะการปรับลดเริ่มต้น 0.5 มม. แต่ค่าสัมประสิทธิ์ความแปรปรวนพบว่า ที่ 0.5 มม. มีค่ามากที่สุด 19.12 รองลงมาได้แก่ 6.78 ที่ 1.0 มม. และ ที่ 2.0 มม. มีค่าน้อยที่สุด คือ 4.20 ส่วนขนาดแรงในแนวดิ่งมีขนาดเพิ่มขึ้นเมื่อระยะการปรับลดเพิ่มขึ้นเช่นกัน โดยขนาดแรงในแนวดิ่งสูงสุด 109.57 กรัม เมื่อมีระยะการปรับลด 3.0 มม. รองลงมาได้แก่ 84.77 กรัม ที่ระยะการปรับลด 2.5 มม. และมีขนาดแรงน้อยที่สุด 9.13 กรัม เมื่อมีระยะการปรับลดเริ่มต้น 0.5 มม. แต่ค่าสัมประสิทธิ์ความแปรปรวนพบว่า ที่ 0.5 มม. มีค่ามากที่สุด 15.99 รองลงมาได้แก่ 9.92 ที่ 1.0 มม. และ ที่ 2.0 มม. มีค่าน้อยที่สุด คือ 1.42 (ตารางที่ 17)

ระยะปรับลวด(มม.)	Mean(กรัม)	S.D.(กรัม)	S.E.	C.V.(%)
ขนาดแรงในแนวระนาบ				
0.5	76.80	7.50	1.37	9.77
1.0	177.32	8.43	1.54	4.75
1.5	353.34	11.87	2.17	3.36
2.0	554.94	17.64	3.22	3.18
2.5	752.24	28.83	5.26	3.83
3.0	961.33	52.60	9.60	5.47
ขนาดแรงในแนวตั้ง				
0.5	13.87	1.22	0.22	8.80
1.0	24.80	2.33	0.43	9.40
1.5	41.70	2.89	0.53	6.93
2.0	50.23	4.05	0.74	8.06
2.5	63.37	3.77	0.69	5.95
3.0	79.47	7.56	1.38	9.51

ตารางที่ 14 แสดงค่าเฉลี่ย (Mean) ค่าเบี่ยงเบนมาตรฐาน (S.D.) ค่าความคลาดเคลื่อนมาตรฐาน(S.E.)และสัมประสิทธิ์ความแปรปรวน(C.V.) ของขนาดแรงในแนวระนาบ และแนวตั้ง ของลวดคอนแทกชั้น อาร์ช ขนาด 0.016 x 0.022 นิ้ว แบบ Simple closed loop เมื่อปรับระยะลวด 0.5,1.0,1.5,2.0,2.5 และ 3.0 มิลลิเมตรตามลำดับ มีหน่วยเป็นกรัม

ระยะปรับลวด(มม.)	Mean(กรัม)	S.D.(กรัม)	S.E.	C.V.(%)
ขนาดแรงในแนวระนาบ				
0.5	54.35	3.93	0.72	7.23
1.0	175.05	10.65	1.94	6.08
1.5	290.10	10.78	1.97	3.72
2.0	398.56	26.44	4.83	6.63
2.5	557.78	27.61	5.04	4.95
3.0	729.83	26.32	4.81	3.61
ขนาดแรงในแนวตั้ง				
0.5	16.10	1.99	0.36	12.36
1.0	30.97	3.16	0.58	10.20
1.5	50.90	5.30	0.97	10.41
2.0	63.90	4.42	0.81	6.92
2.5	86.17	6.69	1.22	7.76
3.0	117.57	8.22	1.50	6.99

ตารางที่ 15 แสดงค่าเฉลี่ย (Mean) ค่าเบี่ยงเบนมาตรฐาน (S.D.) ค่าความคลาดเคลื่อนมาตรฐาน(S.E.)และสัมประสิทธิ์ความแปรปรวน(C.V.) ของขนาดแรงในแนวระนาบ และแนวตั้ง ของลวดคอนแทกชั้น อาร์ท ขนาด 0.016 x 0.022 นิ้ว แบบ Closed loop with helix เมื่อปรับระยะลวด 0.5,1.0,1.5,2.0, 2.5 และ3.0 มิลลิเมตรตามลำดับ มีหน่วยเป็นกรัม

ระยะปรับลาด(มม.)	Mean(กรัม)	S.D.(กรัม)	S.E.	C.V.(%)
ขนาดแรงในแนวระนาบ				
0.5	9.47	.82	0.15	8.66
1.0	54.43	5.42	0.99	9.96
1.5	118.62	10.95	2.00	9.23
2.0	194.96	9.92	1.81	5.09
2.5	276.29	19.11	3.49	6.92
3.0	366.30	13.14	2.40	3.87
ขนาดแรงในแนวตั้ง				
0.5	6.90	1.09	0.20	15.80
1.0	22.23	2.43	0.44	10.93
1.5	38.53	3.68	0.67	9.55
2.0	62.20	3.01	0.55	4.84
2.5	86.53	3.84	0.70	4.44
3.0	113.33	5.77	1.05	5.09

ตารางที่ 16 แสดงค่าเฉลี่ย (Mean) ค่าเบี่ยงเบนมาตรฐาน (S.D.) ค่าความคลาดเคลื่อนมาตรฐาน(S.E.)และสัมประสิทธิ์ความแปรปรวน(C.V.) ของขนาดแรงในแนวระนาบ และแนวตั้ง ของลวดคอนแทกชั้น อาร์ช ขนาด 0.016 x 0.022 นิ้ว แบบ T loop เมื่อปรับระยะลาด 0.5,1.0,1.5,2.0,2.5 และ 3.0 มิลลิเมตรตามลำดับ มีหน่วยเป็นกรัม

ระยะปลิวลาด(มม.)	Mean(กรัม)	S.D.(กรัม)	S.E.	C.V.(%)
ขนาดแรงในแนวระนาบ				
0.5	42.72	8.17	1.49	19.12
1.0	121.15	8.22	1.50	6.78
1.5	226.24	11.37	2.08	5.03
2.0	335.81	14.12	2.58	4.20
2.5	433.24	23.03	4.21	5.32
3.0	560.81	28.20	5.15	5.03
ขนาดแรงในแนวดิ่ง				
0.5	9.13	1.46	0.27	15.99
1.0	22.27	2.21	0.40	9.92
1.5	45.00	2.72	0.50	6.04
2.0	70.37	3.61	0.66	1.42
2.5	84.77	4.99	0.91	5.89
3.0	109.57	6.48	1.18	5.91

ตารางที่ 17 แสดงค่าเฉลี่ย (Mean) ค่าเบี่ยงเบนมาตรฐาน (S.D.) ค่าความคลาดเคลื่อนมาตรฐาน(S.E.)และสัมประสิทธิ์ความแปรปรวน(C.V.) ของขนาดแรงในแนวระนาบ และแนวดิ่ง ของลวดคอนแทกชั้น อาร์ช ขนาด 0.016 x 0.022 นิ้ว แบบ Double delta loop เมื่อปรับระยะลวด 0.5,1.0,1.5,2.0,2.5 และ 3.0 มิลลิเมตรตามลำดับ มีหน่วยเป็นกรัม

1.2 ใช้การวิเคราะห์ความสัมพันธ์และการถดถอย (Correlation และ Regression) ของขนาดแรงที่กระทำต่อพื้นหน้าบน ในแนวระนาบและแนวตั้งกับระยะการปรับลดของทุกกลุ่มตัวอย่าง ($n = 180$) (ตารางที่ 18 - 21) ดังนี้

1.2.1 หาความสัมพันธ์และสมการถดถอยเชิงเส้น มีลักษณะตามสมการดังต่อไปนี้ $\hat{Y} = aX + c$ (ตารางที่ 18-19, รูปที่ 80-85)

ก. ความสัมพันธ์และสมการถดถอยเชิงเส้นของขนาดแรงที่กระทำต่อพื้นหน้าบนในแนวระนาบกับระยะการปรับลด พบว่า ขนาดแรงในแนวระนาบมีความสัมพันธ์กันสูงมาก (0.94-0.99) ในทุกกลุ่มตัวอย่าง และค่าสัมประสิทธิ์การถดถอยของระยะการปรับลด (B) ในลาดทั้ง 2 ขนาด พบว่า แบบ Simple closed loop มีค่ามากที่สุด โดยลาดขนาด 0.016 x 0.016 และ 0.016 x 0.022 นิ้ว มีค่าสัมประสิทธิ์การถดถอยของระยะการปรับลด 203.79 และ 291.00 ตามลำดับ รองลงมา ได้แก่ Closed loop with helix (111.48, 220.59), Double delta loop (82.97, 172.26) และ T loop (52.55, 106.23) ตามลำดับ (ตารางที่ 18)

ข. ความสัมพันธ์และสมการถดถอยเชิงเส้นของขนาดแรงที่กระทำต่อพื้นหน้าบนในแนวตั้งกับระยะการปรับลด พบว่า ขนาดแรงในแนวตั้งมีความสัมพันธ์กันสูงมาก (0.97 - 0.99) ในทุกกลุ่มตัวอย่าง และค่าสัมประสิทธิ์การถดถอยของระยะการปรับลด (B) ในลาดทั้ง 2 ขนาด พบว่า แบบ Closed loop with helix มีค่ามากที่สุด โดยลาดขนาด 0.016x0.016 นิ้ว และ 0.016x0.022 นิ้ว มีค่าสัมประสิทธิ์การถดถอยของระยะการปรับลด (B) 32.82 และ 35.66 ตามลำดับ รองลงมา ได้แก่ Double delta loop (25.71, 34.09), T loop (22.47, 33.59) และ Simple closed loop (16.42, 26.00) ตามลำดับ (ตารางที่ 19)

	Equation	R ²	Sy.x.	B	SE B
ขนาด 0.016x0.016 นิ้ว					
Simple closed loop	$\hat{H}_f = 203.8 \text{ Act}$.98	53.90	203.79	2.06
Closed loop with helix	$\hat{H}_f = 111.5 \text{ Act}$.99	26.30	111.48	1.01
T loop	$\hat{H}_f = 52.6 \text{ Act}$.94	26.45	52.55	1.01
Double delta loop	$\hat{H}_f = 83.0 \text{ Act}$.94	40.55	82.97	1.55
ขนาด 0.016 x 0.022 นิ้ว					
Simple closed loop	$\hat{H}_f = 291.0 \text{ Act}$.98	79.54	291.00	3.04
Closed loop with helix	$\hat{H}_f = 220.6 \text{ Act}$.99	51.26	220.59	1.96
T loop	$\hat{H}_f = 106.2 \text{ Act}$.96	40.31	106.23	1.54
Double delta loop	$\hat{H}_f = 172.3 \text{ Act}$.99	39.44	172.26	1.51

ตารางที่ 18 แสดงสมการถดถอยเชิงเส้น (Linear regression equation), ค่าสัมประสิทธิ์การตัดสินใจ (R^2), ค่าความคลาดเคลื่อนมาตรฐานของการประมาณค่า ($S_{y.x}$), ค่าสัมประสิทธิ์การถดถอยของระยะการปรับลด (B), ค่าความคลาดเคลื่อนมาตรฐานของความชัน (Standard error of slope, SE B) ระหว่างขนาดแรงในแนวระนาบและการปรับลดคอนแทรกชัน อาร์ช ขนาด 0.016 x 0.016 และ 0.016 X 0.022 นิ้ว แบบ Simple closed loop, Closed loop with helix, T loop และ Double delta loop

	Equation	R^2	Sy.x.	B	SE B
ขนาด 0.016 x 0.016 นิ้ว					
Simple closed loop	$\hat{Vf}=16.4 \text{ Act}$.99	3.85	16.42	.15
Closed loop with helix	$\hat{Vf}=32.8 \text{ Act}$.98	10.05	32.82	.38
T loop	$\hat{Vf}=22.5 \text{ Act}$.97	7.14	22.47	.27
Double delta loop	$\hat{Vf}=25.7 \text{ Act}$.98	7.80	25.71	.30
ขนาด 0.016 x 0.022 นิ้ว					
Simple closed loop	$\hat{Vf}=26.0 \text{ Act}$.99	4.43	26.00	.17
Closed loop with helix	$\hat{Vf}=35.7 \text{ Act}$.99	7.94	35.66	.30
T loop	$\hat{Vf}=33.6 \text{ Act}$.98	10.29	33.59	.39
Double delta	$\hat{Vf}=34.1 \text{ Act}$.99	8.10	34.09	.31

ตารางที่ 19 แสดงสมการถดถอยเชิงเส้น (Linear regression equation), ค่าสัมประสิทธิ์การตัดสินใจ (R^2), ค่าความคลาดเคลื่อนมาตรฐานของการประมาณค่า ($S_{y..x}$), ค่าสัมประสิทธิ์การถดถอยของระยะการดึงปลายลวดถดถอยหลัง (B) และค่าความคลาดเคลื่อนมาตรฐานของความชัน (Standard error of slope, SE B) ระหว่างขนาดแรงในแนวดิ่งกับการปรับลดคอนแทรกชัน อาร์ช ขนาด 0.016 x 0.016 และ 0.016 X 0.022 นิ้ว แบบ Simple closed loop, Closed loop with helix, T loop และ Double delta loop

1.2.2 หาความสัมพันธ์และสมการถดถอยเชิงเส้นโค้ง มีลักษณะตามสมการดังต่อไปนี้ $\hat{Y} = b_1X + b_2X^2 + b_0$ (ตารางที่ 20-21, รูปที่ 80-83 และ 86-87)

ก. ความสัมพันธ์และสมการถดถอยเชิงเส้นโค้งของขนาดแรงที่กระทำต่อพื้นหน้าบนในแนวระนาบกับระยะการปรับลด พบว่า ขนาดแรงในแนวระนาบมีความสัมพันธ์กันสูงมาก (0.99-1.00) ในทุกกลุ่มตัวอย่าง และค่าความคลาดเคลื่อนมาตรฐานของการประมาณค่า ($S_{y..x}$) ของลวดขนาด 0.016 x 0.016 นิ้ว พบว่า แบบ Simple closed loop มีค่ามากที่สุด (21.80) รองลงมา ได้แก่ Double delta loop (14.03), Closed loop with helix (13.63) และ T loop (1.46) ตามลำดับ ลวดขนาด 0.016 x 0.022 นิ้ว พบว่า แบบ Simple closed loop มีค่ามากที่สุด (31.62) รองลงมา ได้แก่ Closed loop with helix (22.57), Double delta loop (20.21) และ T loop (13.91) ตามลำดับ (ตารางที่ 20)

ข. ความสัมพันธ์และสมการถดถอยเชิงเส้นโค้งของขนาดแรงที่กระทำต่อพื้นหน้าบนในแนวตั้งกับระยะการปรับลด พบว่า ขนาดแรงในแนวตั้งมีความสัมพันธ์กันสูงมาก (0.99 - 1.00) ในทุกกลุ่มตัวอย่าง และค่าความคลาดเคลื่อนมาตรฐานของการประมาณค่า ($S_{y..x}$) ของลวดขนาด 0.016 x 0.016 นิ้ว พบว่า แบบ Closed loop with helix มีค่ามากที่สุด (6.14) รองลงมา ได้แก่ T loop (4.80), Simple closed loop (3.80) และ Double delta loop (3.72) ตามลำดับ ลวดขนาด 0.016 x 0.022 นิ้ว พบว่า แบบ Closed loop with helix มีค่ามากที่สุด (6.17) รองลงมา ได้แก่ Double delta loop (5.34), Simple closed loop (4.44) และ T loop (3.82) ตามลำดับ (ตารางที่ 21)

	Equation	R ²	S _{v...x}	B		SE B	
				Act	Act ²	Act	Act ²
ขนาด 0.016 x 0.016 นิ้ว							
Simple closed loop	$\hat{H}_f = 104.3 \text{ Act} + 41.0 \text{ Act}^2$	1.00	21.80	104.34	41.04	3.39	1.36
Closed loop with helix	$\hat{H}_f = 66.1 \text{ Act} + 18.7 \text{ Act}^2$	1.00	13.63	66.08	18.74	2.12	.85
T loop	$\hat{H}_f = 1.5 \text{ Act} + 21.1 \text{ Act}^2$.99	7.63	1.46	21.09	1.19	.47
Double delta loop	$\hat{H}_f = 6.2 \text{ Act} + 31.7 \text{ Act}^2$.99	14.03	6.23	31.67	2.18	.87
ขนาด 0.016 x 0.022 นิ้ว							
Simple closed loop	$\hat{H}_f = 143.8 \text{ Act} + 60.8 \text{ Act}^2$	1.00	31.62	143.76	60.77	4.92	1.97
Closed loop with helix	$\hat{H}_f = 127.7 \text{ Act} + 38.3 \text{ Act}^2$	1.00	22.57	127.74	38.32	3.51	1.40
T loop	$\hat{H}_f = 29.9 \text{ Act} + 31.5 \text{ Act}^2$	1.00	13.91	29.91	31.49	2.16	.87
Double delta loop	$\hat{H}_f = 103.9 \text{ Act} + 28.2 \text{ Act}^2$	1.00	20.21	103.91	28.21	3.14	1.26

ตารางที่ 20 แสดงสมการถดถอยเชิงเส้นโค้ง (Non linear regression equation), ค่าสัมประสิทธิ์การตัดสินใจ (R^2), ค่าความคลาดเคลื่อนมาตรฐานของการประมาณค่า ($S_{v...x}$), ค่าสัมประสิทธิ์การถดถอยของระยะการปรับลด (B), ค่าความคลาดเคลื่อนมาตรฐานของความชัน (Standard error of slope, SE B) ระหว่างขนาดแรงในแนวระนาบและการปรับลดคอนแทกชั้น อาร์ช ขนาด 0.016 x 0.016 นิ้ว และ 0.016 x 0.022 นิ้ว แบบ Simple closed loop, Closed loop with helix, T loop และ Double delta loop

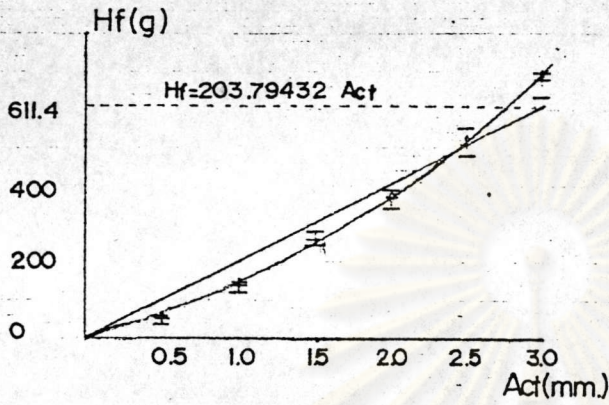


	Equation	R ²	S _{v...x}	B		SE B	
				Act	Act ²	Act	Act ²
ขนาด 0.016 x 0.016 นิ้ว							
Simple closed loop	$\hat{Vf} = 15.1 \text{ Act} + 0.6 \text{ Act}^2$.99	3.80	15.08	.56	.59	.24
Closed loop with helix	$\hat{Vf} = 16.7 \text{ Act} + 6.6 \text{ Act}^2$.99	6.14	16.74	6.63	.96	.38
T loop	$\hat{Vf} = 11.8 \text{ Act} + 4.4 \text{ Act}^2$.99	4.80	11.78	4.41	.75	.30
Double delta loop	$\hat{Vf} = 11.9 \text{ Act} + 5.7 \text{ Act}^2$.99	3.72	11.87	5.71	.58	.23
ขนาด 0.016 x 0.022 นิ้ว							
Simple closed loop	$\hat{Vf} = 25.8 \text{ Act} + 0.1 \text{ Act}^2$.99	4.44	25.76	.10	.69	.28
Closed loop with helix	$\hat{Vf} = 25.5 \text{ Act} + 4.2 \text{ Act}^2$.99	6.17	25.55	4.17	.96	.38
T loop	$\hat{Vf} = 14.3 \text{ Act} + 8.0 \text{ Act}^2$	1.00	3.82	14.32	7.96	.59	.24
Double delta loop	$\hat{Vf} = 21.8 \text{ Act} + 5.1 \text{ Act}^2$.99	5.34	21.78	5.08	.83	.33

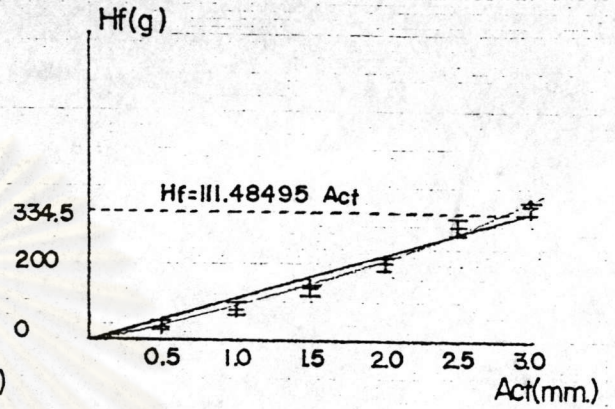
ตารางที่ 21 แสดงสมการถดถอยเชิงเส้นโค้ง (Non linear regression equation), ค่าสัมประสิทธิ์การตัดสินใจ (R^2), ค่าความคลาดเคลื่อนมาตรฐานของการประมาณค่า ($S_{v...x}$), ค่าสัมประสิทธิ์การถดถอยของระยะการดึงปลายลวดถดถอยหลัง (B) และค่าความคลาดเคลื่อนมาตรฐานของความชัน (Standard error of slope, SE B) ระหว่างขนาดแรงในแนวตั้งกับการปรับลวดคอนแทรกชัน อาร์ช ขนาด 0.016 x 0.016 และ 0.016 X 0.022 นิ้ว แบบ Simple closed loop, Closed loop with helix, T loop และ Double delta loop

1.2.3 จากข้อมูลค่ามัธยฐานเลขคณิต (\bar{x}) ของขนาดแรงในแนวระนาบ และแนวตั้ง กับระยะเวลาปรับลวดต่างๆ กัน นำมาแสดงเป็นกราฟ ร่วมกับเปรียบเทียบกราฟ เส้นตรงที่ได้จากการวิเคราะห์การถดถอยเชิงเส้นกับกราฟเส้นโค้งที่ได้จากการวิเคราะห์ การถดถอยเชิงเส้นโค้ง ซึ่งแสดงถึงความสัมพันธ์ระหว่างขนาดแรงในแนวระนาบ (H_f) และ แนวตั้ง (V_f) กับระยะเวลาปรับลวด (Act) พบว่า ขนาดแรงในแนวระนาบและแนวตั้งเพิ่มขึ้น เมื่อระยะเวลาปรับลวดเพิ่มขึ้น และเปรียบเทียบ Goodness of fit ของข้อมูลที่ได้จาก สมการถดถอยเชิงเส้นกับเชิงเส้นโค้ง พบว่า กราฟจากสมการถดถอยเชิงเส้นโค้งใกล้เคียง กับค่ามัธยฐานเลขคณิตของข้อมูลมากกว่ากราฟจากสมการถดถอยเชิงเส้น ยกเว้น ขนาดแรง ในแนวตั้งของลวดทั้งสองขนาด แบบ Simple closed loop พบว่า กราฟจากสมการถดถอย ทั้งสองแบบใกล้เคียงกันมาก (รูปที่ 80 - 83)

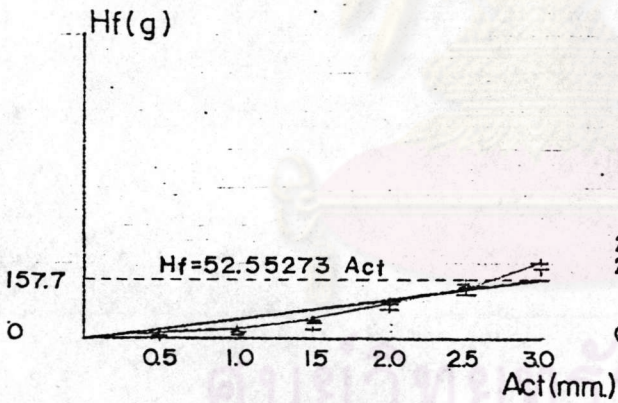
ศูนย์วิทยทรัพยากร
จุฬาลงกรณ์มหาวิทยาลัย



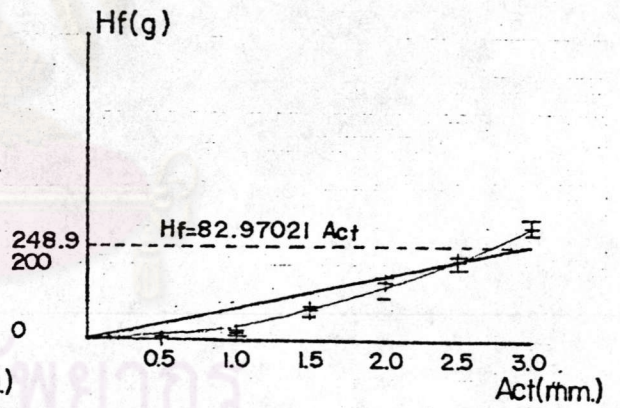
Simple closed loop
S.E. = 53.89807



Closed loop with helix
S.E. = 26.30332

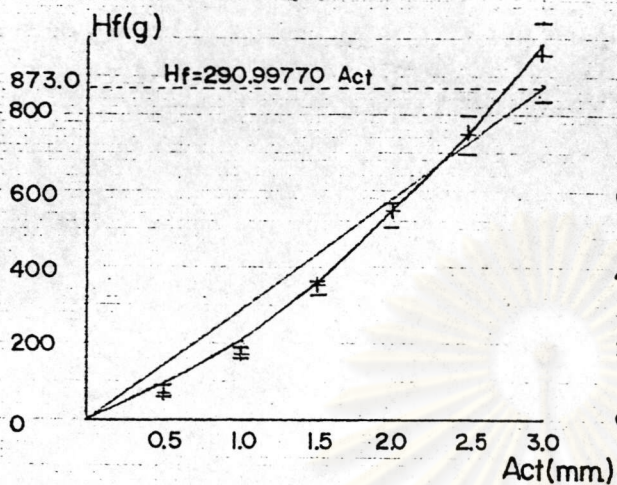


T loop
S.E. = 26.45417



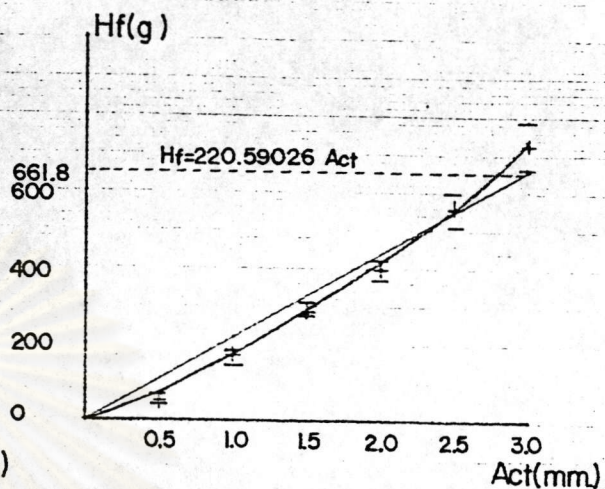
Double delta loop
S.E. = 40.54504

รูปที่ 80 กราฟแสดงความสัมพันธ์ระหว่างขนาดแรงในแนวระนาบ (Hf) กับระยะการปรับ
 ลวดคอนแทรกชัน อาร์ช (Act) ขนาด 0.016 x 0.016 นิ้ว แบบ Simple
 closed loop, Closed loop with helix, T loop และ Double
 delta loop



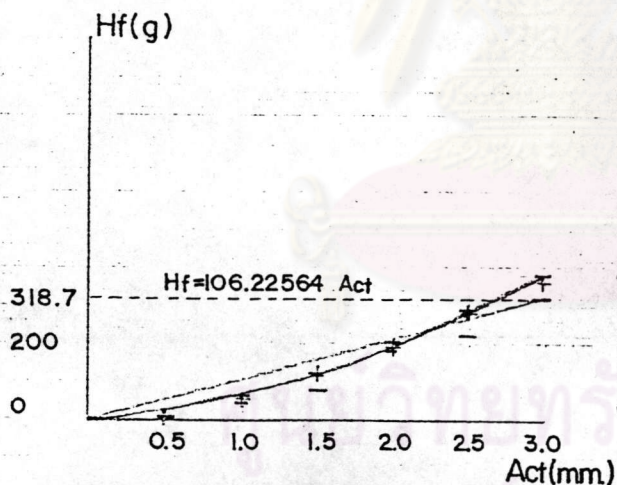
Simple closed loop

S.E. = 79.53526



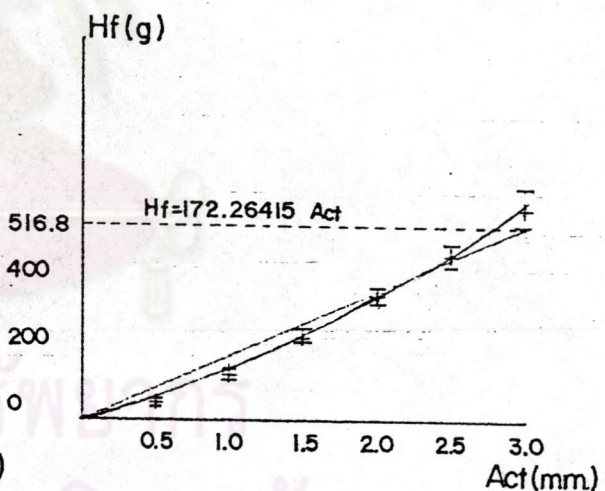
Closed loop with helix

S.E. = 51.25534



T loop

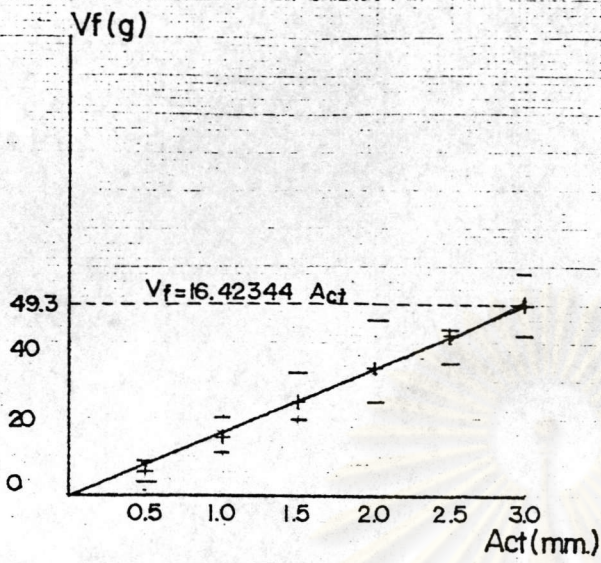
S.E. = 40.30729



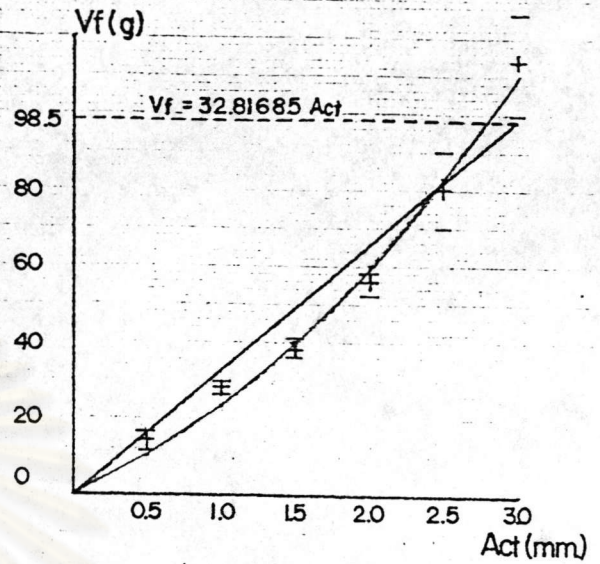
Double delta loop

S.E. = 39.43590

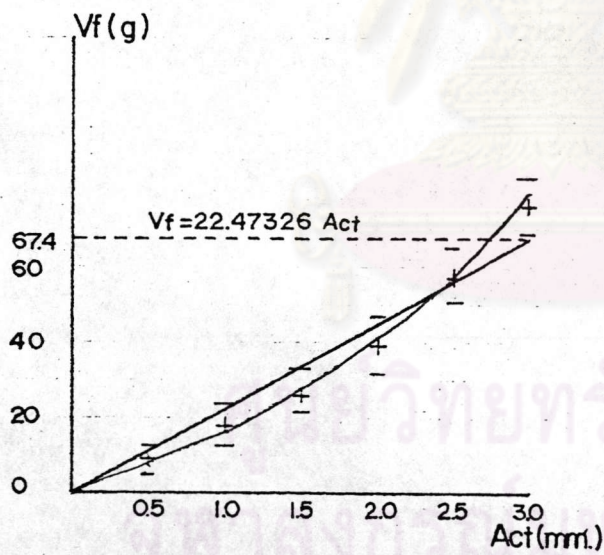
รูปที่ 81 กราฟแสดงความสัมพันธ์ระหว่างขนาดแรงในแนวระนาบ (H_f) กับระยะการปรับลวดคอนแทรกชัน อาร์ช (Act) ขนาด 0.016×0.022 นิ้ว แบบ Simple closed loop, Closed loop with helix, T loop และ Double delta loop



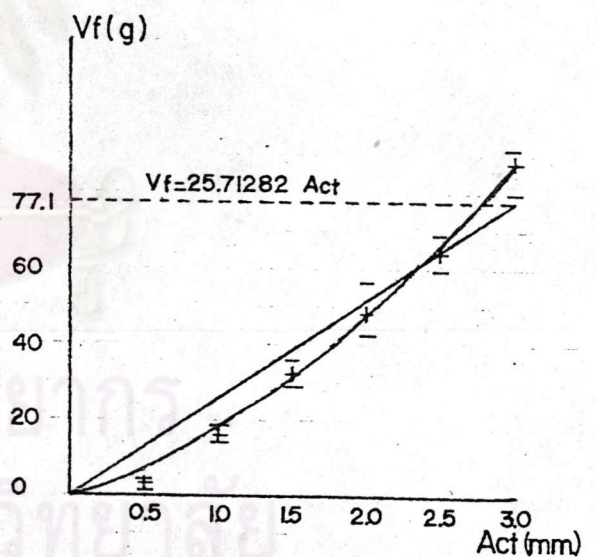
Simple closed loop
S.E. = 3.85029



Closed loop with helix
S.E. = 10.05310

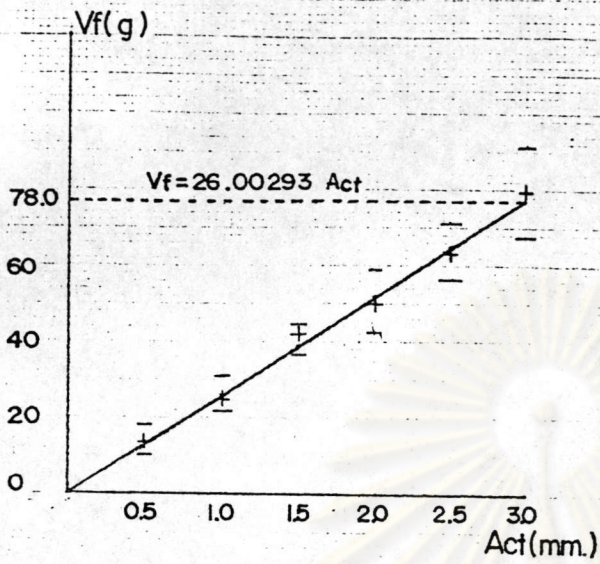


T loop
S.E. = 7.14461

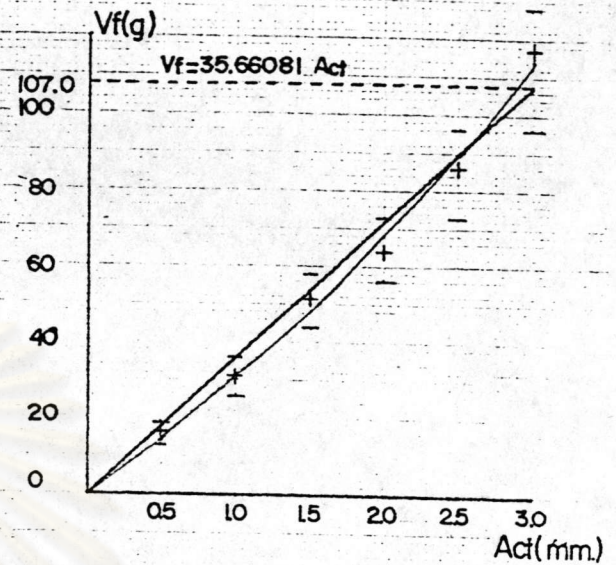


Double delta loop
S.E. = 7.80621

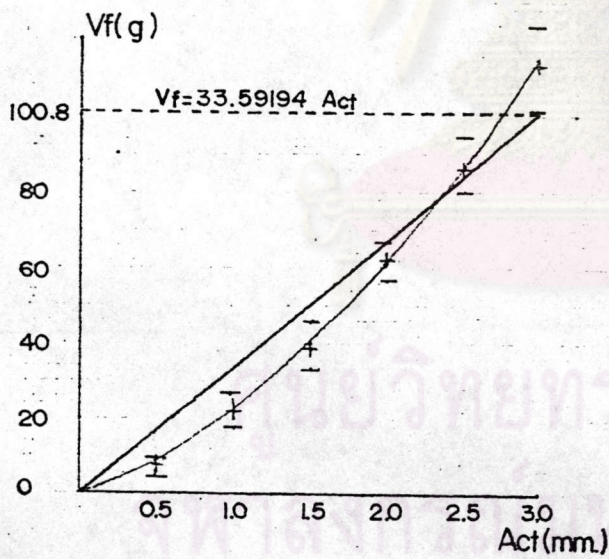
รูปที่ 82 กราฟแสดงความสัมพันธ์ระหว่างขนาดแรงในแนวตั้ง (Vf) กับระยะการปรับ
ลดคอนแทรกชัน อาร์ช (Act) ขนาด 0.016 x 0.016 นิ้ว แบบ Simple
closed loop, Closed loop with helix, T loop และ Double
delta loop



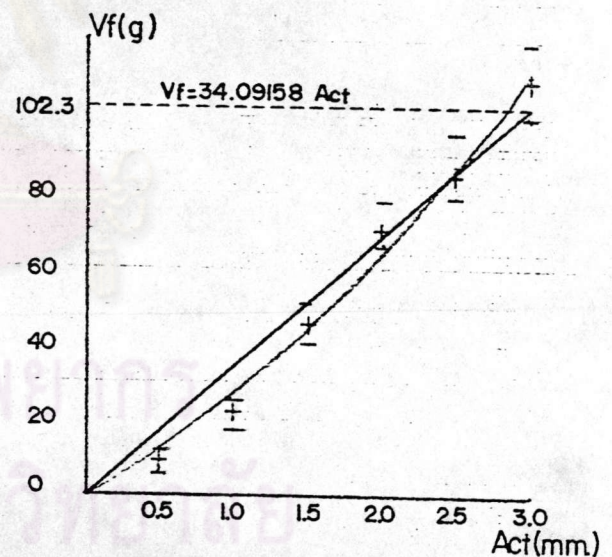
Simple closed loop
S.E. = 4.42883



Closed loop with helix
S.E. = 7.93601



T loop
S.E. = 10.28976



Double delta loop
S.E. = 8.10072

รูปที่ 83 กราฟแสดงความสัมพันธ์ระหว่างขนาดแรงในแนวตั้ง (V_f) กับระยะการปรับ
ลดคอนแทรกชัน อาร์ช (Act) ขนาด 0.016×0.022 นิ้ว แบบ Simple
closed loop, Closed loop with helix, T loop และ Double
delta loop

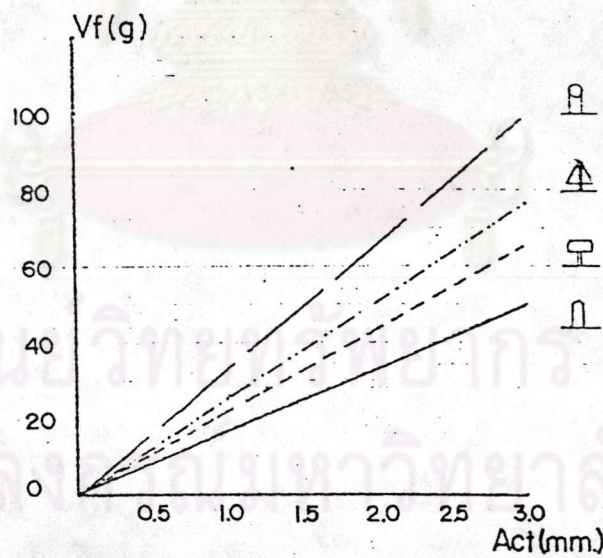
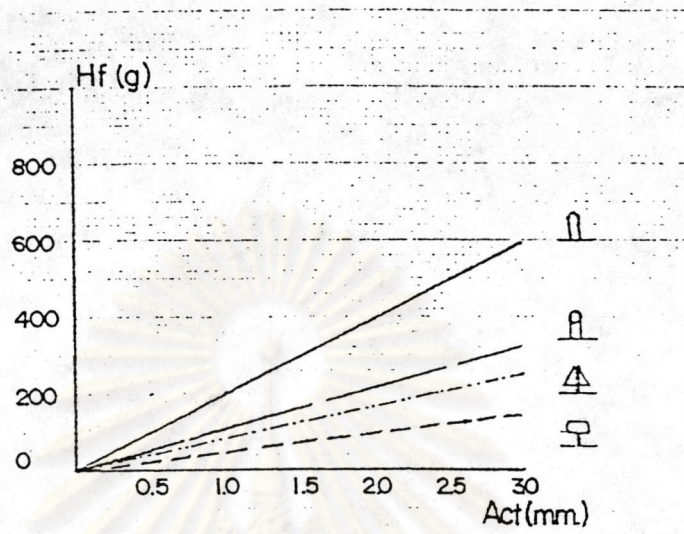
1.2.4 แสดงการเปรียบเทียบความสัมพันธ์ของขนาดแรงในแนว
ระนาบ(Hf)และแนวตั้ง(Vf) กับระยะการปรับลด(Act) ของกลุ่มตัวอย่างที่มีแบบของลูป
ต่าง ๆ กัน

ก. ตามสมการถดถอยเชิงเส้น ในลวดขนาด 0.016x0.016
นิ้ว (ตารางที่ 84) และ ขนาด 0.016 x 0.022 นิ้ว (ตารางที่ 85)

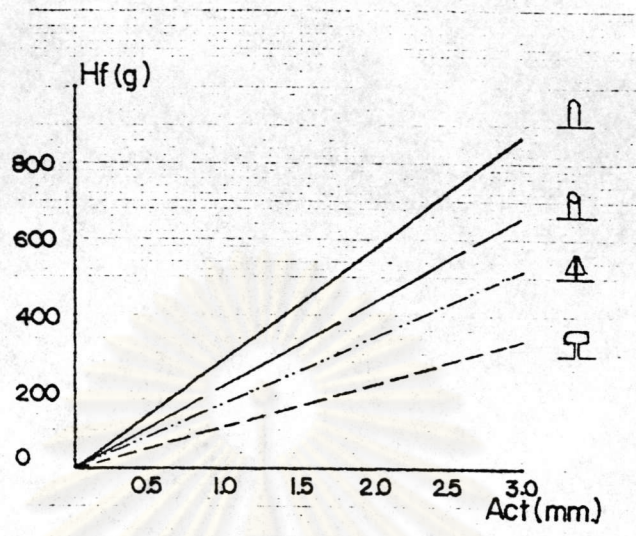
ข. ตามสมการถดถอยเชิงเส้นโค้ง ในลวดขนาด
0.016 x 0.016 นิ้ว (ตารางที่ 86) และ ขนาด 0.016 x 0.022 นิ้ว (ตารางที่ 87)

ขนาดแรงในแนวระนาบของลวดทั้งสองขนาด พบว่า Simple
closed loop ให้แรงได้มากที่สุด รองลงมา ได้แก่ Closed loop with helix,
Double delta loop และ T loop ตามลำดับ ในกราฟจากสมการถดถอยเชิงเส้นและ
เชิงเส้นโค้ง

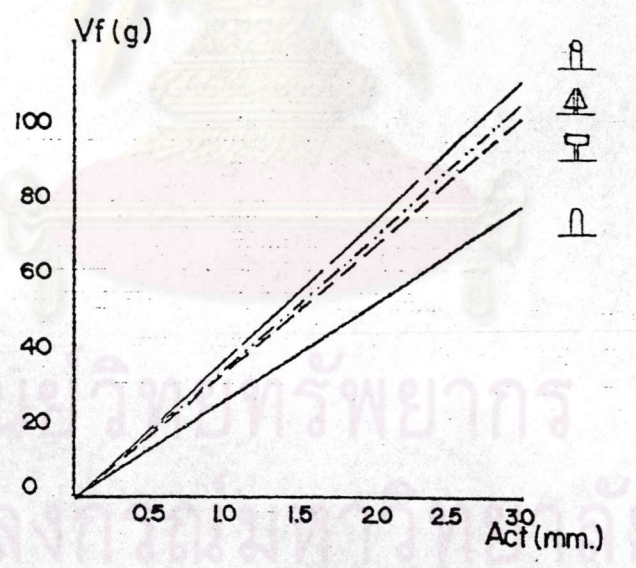
ขนาดแรงในแนวตั้งของลวดทั้งสองขนาดของกราฟจากสมการ
ถดถอยเชิงเส้น และลวดขนาด 0.016 x 0.022 นิ้ว ของกราฟจากสมการถดถอย
เชิงเส้นโค้ง พบว่า Closed loop with helix ให้แรงมากที่สุด รองลงมา ได้แก่
Double delta loop, T loop และ Simple closed loop ตามลำดับ แต่กราฟจาก
สมการถดถอยเชิงเส้นโค้งของลวดขนาด 0.016 x 0.022 นิ้ว กลับพบว่า T loop ให้แรง
ได้มากกว่า Double delta loop



รูปที่ 84 กราฟแสดงการเปรียบเทียบความสัมพันธ์ระหว่างขนาดแรงในแนวระนาบ(Hf) (ก) และแนวตั้ง(Vf) (ข) กับระยะการปรับลวด (Act) คอนแทกชั้น อาร์ช ขนาด 0.016 x 0.016 นิ้ว แบบ Simple closed loop (□), Closed loop with helix (⊠), T loop (⊞) และ Double delta loop (△) ตามสมการถดถอยเชิงเส้น

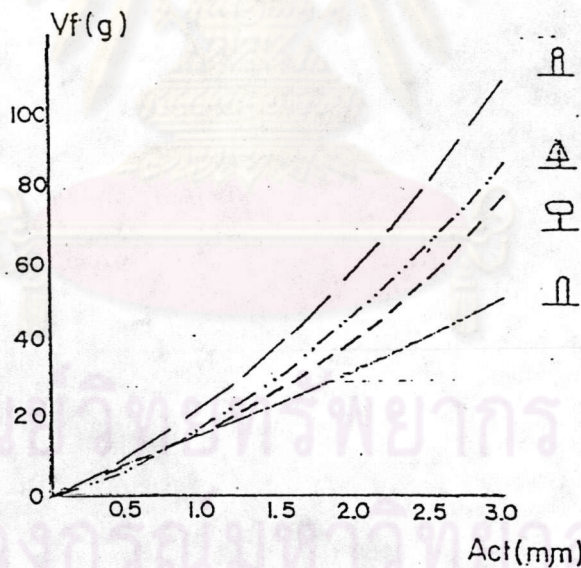
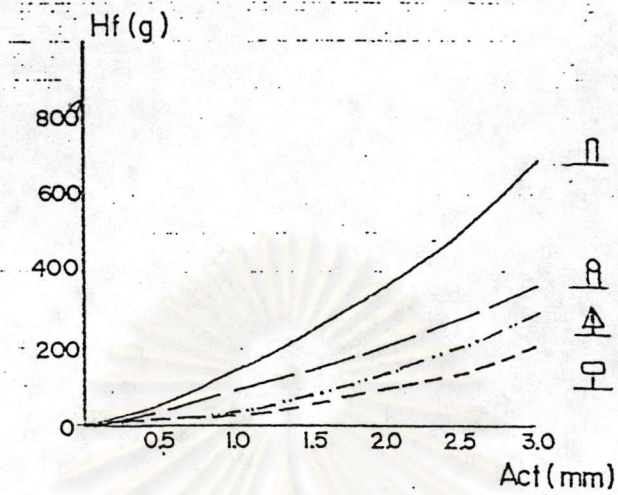


ก

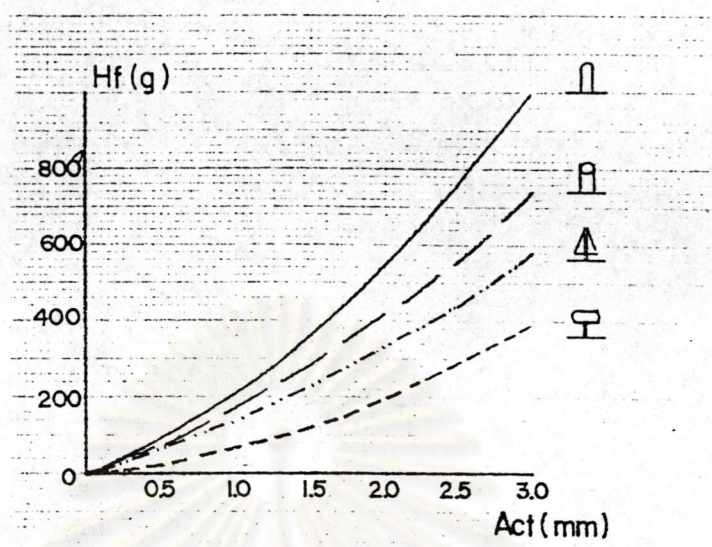


ข

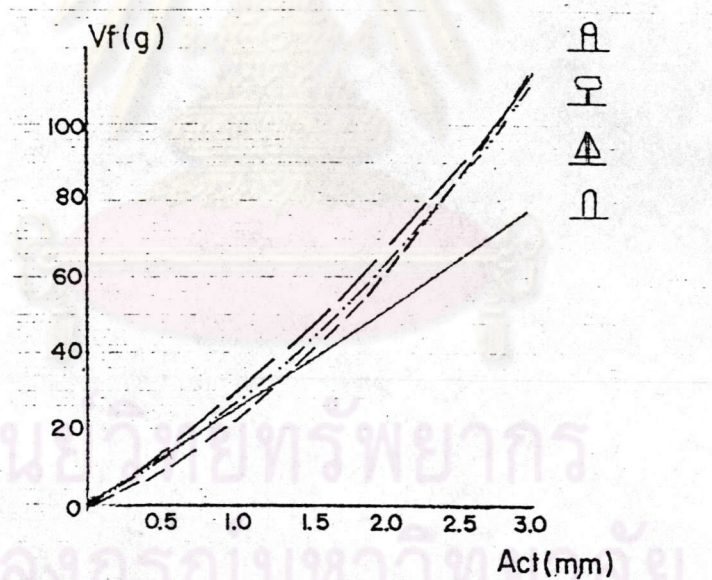
รูปที่ 85 กราฟแสดงการเปรียบเทียบความสัมพันธ์ระหว่างขนาดแรงในแนวระนาบ(Hf) (ก) และแนวตั้ง(Vf) (ข) กับระยะการปรับลวด (Act) คอนแทกกัน อาร์ซี ขนาด 0.016 x 0.022 นิ้ว แบบ Simple closed loop (⌚), Closed loop with helix (⌚), T loop (⌚) และ Double delta loop (⌚) ตามสมการถดถอยเชิงเส้น



รูปที่ 86 กราฟแสดงการเปรียบเทียบความสัมพันธ์ระหว่างขนาดแรงในแนวระนาบ (H_f) (ก) และแนวตั้ง (V_f) (ข) กับระยะการปรับลด (Act) คอนแทกชั้น อาร์ช ขนาด 0.016×0.016 นิ้ว แบบ Simple closed loop (U), Closed loop with helix (A), T loop (C) และ Double delta loop (D) ตามสมการถดถอยเชิงเส้นโค้ง



ก



ข

รูปที่ 87 กราฟแสดงการเปรียบเทียบความสัมพันธ์ระหว่างขนาดแรงในแนวระนาบ (Hf) (ก) และแนวตั้ง (Vf) (ข) กับระยะการปรับลวด (Act) คอนแทกชิ้น อาร์ซี ขนาด 0.016 x 0.022 นิ้ว แบบ Simple closed loop (□), Closed loop with helix (⊞), T loop (⊞) และ Double delta loop (△) ตามสมการถดถอยเชิงเส้นโค้ง

1.2.5 จากผลการศึกษาเปรียบเทียบค่าความคลาดเคลื่อนมาตรฐานของการประมาณค่า ($S_{v..x}$) ระหว่างสมการถดถอยเชิงเส้นและเชิงเส้นโค้ง เพื่อทดสอบ Goodness of fit ระหว่าง 2 สมการพบว่า สมการถดถอยเชิงเส้นมีค่าความคลาดเคลื่อนมาตรฐานของการประมาณค่า ($S_{v..x}$) มากกว่าสมการถดถอยเชิงเส้นโค้ง ยกเว้นขนาดแรงในแนวตั้งของขนาด 0.016 x 0.022 นิ้ว แบบ Simple closed loop ที่มีค่าความคลาดเคลื่อนมาตรฐานของการประมาณค่า ($S_{v..x}$) น้อยกว่าสมการถดถอยเชิงเส้นโค้ง (ตารางที่ 22)

ขนาดลวด 0.016 X 0.016 นิ้ว	Linear	Non linear	Differ	ขนาดลวด 0.016 X 0.022 นิ้ว	Linear	Non linear	Differ
<u>Simple closed loop</u>				<u>Simple closed loop</u>			
Horizontal force				Horizontal force			
$S_{v..x}$	53.90	21.80	-32.10	$S_{v..x}$	79.54	31.62	-47.92
Vertical force				Vertical force			
$S_{v..x}$	3.85	3.80	-0.05	$S_{v..x}$	4.43	4.44	0.01
<u>Closed loop with helix</u>				<u>Closed loop with helix</u>			
Horizontal force				Horizontal force			
$S_{v..x}$	26.30	13.63	-12.67	$S_{v..x}$	51.26	22.57	-28.69
Vertical force				Vertical force			
$S_{v..x}$	10.05	6.14	-3.91	$S_{v..x}$	7.94	6.17	-1.77
<u>T loop</u>				<u>T loop</u>			
Horizontal force				Horizontal force			
$S_{v..x}$	26.45	7.63	-18.82	$S_{v..x}$	40.31	13.91	-26.40
Vertical force				Vertical force			
$S_{v..x}$	7.14	4.80	-2.34	$S_{v..x}$	10.29	3.82	-6.47
<u>Double delta loop</u>				<u>Double delta loop</u>			
Horizontal force				Horizontal force			
$S_{v..x}$	40.55	14.03	-26.52	$S_{v..x}$	39.44	20.21	-19.23
Vertical force				Vertical force			
$S_{v..x}$	7.80	3.72	-4.08	$S_{v..x}$	8.10	5.34	-2.75

ตารางที่ 22 แสดงผลการศึกษาเปรียบเทียบค่าความคลาดเคลื่อนมาตรฐานของการประมาณค่า ($S_{v..x}$) ระหว่างสมการถดถอยเชิงเส้นและเชิงเส้นโค้ง

1.2.6 จากผลการศึกษานาตรแรงในแนวระนาบและแนวตั้งจากระยะการปรับลดโดยใช้สมการถดถอยเชิงเส้นของกลุ่มตัวอย่างทั้ง 8 กลุ่ม เมื่อต้องการขนาดแรงกระทำต่อพื้นหน้าบในแนวระนาบ 200 - 300, 400 - 600 กรัม โดยมีระยะการปรับลดไม่เกิน 2.0 มิลลิเมตร จากข้อมูล พบว่า

ก. ในขนาดขนาด 0.016 x 0.016 นิ้ว Simple closed loop เป็นแบบเดียวที่สามารถให้แรงถึง 407.6 กรัม รองลงมาได้แก่ Closed loop with helix (223 กรัม), Double delta loop (166.0 กรัม) และ T loop (105.1 กรัม) ตามลำดับ และมีขนาดแรงในแนวตั้งที่ต่างกันโดย Closed loop with helix มีขนาดแรงมากที่สุด 65.8 กรัม รองลงมา ได้แก่ Double delta loop (51.4), T loop (45.0) และ Simple closed loop (32.9) ตามลำดับ แต่อัตราส่วนของโมเมนต์-แรงกลับพบว่า T loop มีค่ามากที่สุด 6.0 รองลงมาได้แก่ Double delta loop (4.3), Closed loop with helix (4.1) และ Simple closed loop (1.1) ตามลำดับ

ข. ในขนาดขนาด 0.016 x 0.022 นิ้ว Simple closed loop สามารถให้ขนาดแรงได้ถึง 582 กรัม รองลงมา ได้แก่ Closed loop with helix (441.2 กรัม), Double delta loop (344.5 กรัม) และ T loop (212.5 กรัม) ตามลำดับ และมีขนาดแรงในแนวตั้งที่ต่างกันโดย Closed loop with helix ให้ขนาดแรงมากที่สุด 71.3 กรัม รองลงมา ได้แก่ Double delta loop (68.2), T loop (67.2) และ Simple closed loop (52.0) ตามลำดับ แต่อัตราส่วนของโมเมนต์ - แรงกลับพบว่า T loop มีค่ามากที่สุด 4.4 รองลงมาได้แก่ Double delta loop (2.8) , Closed loop with helix (2.3) และ Simple closed loop (1.3) ตามลำดับ (ตารางที่ 23)

	แรงในแนว ระนาบ(กรัม)	ระยะการปรับลด (มิลลิเมตร)	แรงในแนวตั้ง '(กรัม)	โมเมนต์-แรง (มิลลิเมตร)
ขนาด 0.016 x 0.016 นิ้ว				
Simple closed loop	200-300	1.0-1.5	16.1-24.2	1.1
	407.6	2.0	32.9	
Closed loop with helix	200-223	1.8-2.0	58.9-65.6	4.1
T loop	105.1	2.0	45.0	6.0
Double delta loop	166.0	2.0	51.4	4.3
ขนาด 0.016 x 0.022 นิ้ว				
Simple closed loop	200-300	0.7-1.0	17.9-26.8	1.3
	400-582	1.4-2.0	35.7-52.0	
Closed loop with helix	200-300	0.9-1.4	32.3-48.5	2.3
	400-441.2	1.8-2.0	64.7-71.3	
T loop	200-212.5	1.9-2.0	63.3-67.2	4.4
Double delta loop	200-300	1.2-1.7	39.6-59.4	2.8
	344.5	2.0	68.2	

ตารางที่ 23 แสดงขนาดแรงในแนวระนาบ, แนวตั้ง, ระยะการปรับลด และอัตราส่วนของโมเมนต์ - แรงของลวดคอนแทกชิ้น อาร์ช ขนาด 0.016 x 0.016 และ 0.016 x 0.022 นิ้ว ที่มีแบบของลูปเป็น Simple closed loop, Closed loop with helix, T loop และ Double delta loop เมื่อต้องการแรงในแนวระนาบ 200-300 , 400-600 กรัม และปรับลดไม่เกินครึ่งละ 2 มิลลิเมตร

2. เพื่อศึกษาเปรียบเทียบความแตกต่างของขนาดแรงที่กระทำต่อพื้นหน้าบน
ในแนวระนาบและแนวตั้ง เมื่อมีการเปลี่ยนแปลงขนาดลวดและแบบของลวดของกลุ่มตัวอย่าง
ทั้ง 8 กลุ่ม เมื่อปรับระยะลวดต่าง ๆ กัน โดยใช้การวิเคราะห์ความแปรปรวนแบบสองทาง
(Two way ANOVA) ที่ระดับนัยสำคัญ 0.05 พบว่า ขนาดแรงเฉลี่ยในแนวระนาบ และ
แนวตั้งระหว่างลวดคอนแทรกชัน อาร์ช แต่ละขนาด และ แต่ละแบบมีความแตกต่างกันที่
ระดับนัยสำคัญ 0.05 โดยมีผลกระทบร่วมระหว่างลวดคอนแทรกชัน อาร์ช ที่มีขนาดและแบบ
ของลวดที่ต่างกันต่อขนาดแรงในแนวระนาบและแนวตั้งเฉลี่ย ที่ระดับนัยสำคัญ 0.05
(ตารางที่ 24-25) ($n = 240$)

ศูนย์วิทยทรัพยากร
จุฬาลงกรณ์มหาวิทยาลัย

ระยะเวลาปรับลวด	0.5 มม.		1.0 มม.		1.5 มม.	
	F	Sig.F	F	Sig.F	F	Sig.F
Wire size	1180.754*	.000	4969.841*	.000	6395.696*	.000
Design	1752.130*	0.0	3461.778*	0.0	4344.314*	0.0
2-way interactions	124.116*	0.0	387.106*	0.0	177.563*	0.0
Explained	972.785*	0.0	2359.499*	0.0	2851.618*	0.0

ระยะเวลาปรับลวด	2.0 มม.		2.5 มม.		3.0 มม.	
	F	Sig.F	F	Sig.F	F	Sig.F
Wire size	6456.372*	.000	5507.417*	.000	5985.753*	.000
Design	4213.739*	0.0	3941.578*	0.0	4271.319*	0.0
2-way interactions	102.161*	0.0	84.490*	0.0	132.226*	0.0
Explained	2772.010*	0.0	2512.231*	0.0	2742.341*	0.0

* มีนัยสำคัญที่ระดับนัยสำคัญ 0.05

ตารางที่ 24 การวิเคราะห์ความแปรปรวนแบบ 2 ทาง(Two way ANOVA) จากค่า F และ Sig F ของขนาดแรงในแนวระนาบที่กระทำต่อพื้นหน้าบนเมื่อใช้ลวดคอนแทรกชันอาร์ซี ขนาดและรูปแบบต่าง ๆ กัน

ระยะการปรับลวด	0.5 มม.		1.0 มม.		1.5 มม.	
	F	Sig.F	F	Sig.F	F	Sig.F
Wire size	234.805*	.000	291.512*	.000	850.402*	.000
Design	345.014*	0.0	235.792*	0.0	150.482*	0.0
2-way interactions	116.536*	0.0	24.640*	0.0	7.105*	.000
Explained	231.351*	0.0	153.258*	0.0	189.024*	0.0

ระยะการปรับลวด	2.0 มม.		2.5 มม.		3.0 มม.	
	F	Sig.F	F	Sig.F	F	Sig.F
Wire size	2986.645*	.000	1020.703*	.000	751.885*	.000
Design	3238.846*	0.0	448.309*	0.0	614.678*	0.0
2-way interactions	38.927*	0.0	63.239*	0.0	70.494*	0.0
Explained	259.995*	0.0	365.049*	0.0	401.057*	0.0

* มีนัยสำคัญที่ระดับนัยสำคัญ 0.05

ตารางที่ 25 การวิเคราะห์ความแปรปรวนแบบ 2 ทาง (Two way ANOVA) จากค่า F และ Sig f ของขนาดแรงในแนวตั้งที่กระทำต่อพื้นหน้าบน เมื่อใช้ลวดคอนแทรกชันอาร์ช ขนาดและรูปแบบต่าง ๆ กัน